

TUGAS AKHIR

STUDI KAPASITAS PENAMPANG KOLOM PADA ZONA RASIO EKSENTRISITAS BEBAN AKSIAL YANG LEBIH BESAR DARI EKSENTRISITAS BALANCE

*(Studi Kasus Gedung Integrated Laboratory for Natural Science and Food
Technology Universitas Jember)*

*Diajukan Untuk Memenuhi Persyaratan Memperoleh
Gelar Sarjana Teknik pada Program Studi Teknik Sipil*

Universitas Muhammadiyah Jember



Disusun Oleh:

Alvin Ilmi Hakiki

1610611043

PROGRAM STUDI TEKNIK SIPIL

FAKULTAS TEKNIK

UNIVERSITAS MUHAMMADIYAH JEMBER

2020

HALAMAN PERSETUJUAN TUGAS AKHIR

STUDI KAPASITAS PENAMPANG KOLOM PADA ZONA RASIO EKSENTRISITAS BEBAN AKSIAL YANG LEBIH BESAR DARI EKSENTRISITAS BALANCE

*(Studi Kasus Gedung Integrated Laboratory for Natural Science and Food
Technology Universitas Jember)*

*Diajukan Untuk Memenuhi Persyaratan Memperoleh
Gelar Sarjana Teknik pada Program Studi Teknik Sipil
Universitas Muhammadiyah Jember*

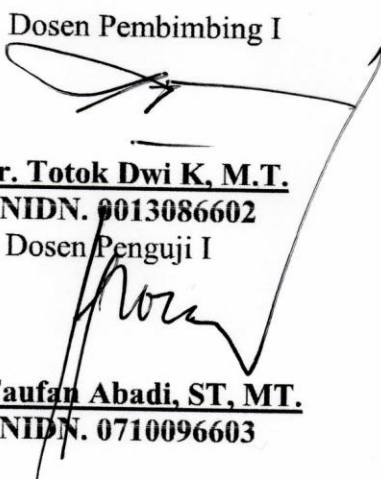
Yang diajukan oleh :

Alvin Ilmi Hakiki

1610611043

Telah diperiksa dan disetujui oleh :

Dosen Pembimbing I


Ir. Totok Dwi K, M.T.
NIDN. 0013086602
Dosen Penguji I
Note
Taufan Abadi, ST, MT.
NIDN. 0710096603

Dosen Pembimbing II


Ir. Pujo Priyono, M.T.
NIDN. 002126402
Dosen Penguji II

Arief Alihuddin, ST, M.T.
NIDN. 072597101

HALAMAN PENGESAHAN TUGAS AKHIR

STUDI KAPASITAS PENAMPANG KOLOM PADA ZONA RASIO EKSENTRISITAS BEBAN AKSIAL YANG LEBIH BESAR DARI EKSENTRISITAS BALANCE

(*Studi Kasus Gedung Integrated Laboratory for Natural Science and Food*

Technology Universitas Jember)

Disusun Oleh :

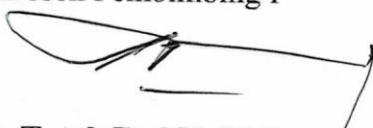
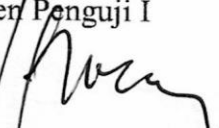
Alvin Ilmi Hakiki

1610611043

Telah mempertanggung jawabkan Laporan Tugas Akhirnya pada sidang Tugas Akhir tanggal 16 Juli 2018 sebagai salah satu syarat kelulusan dan mendapatkan Gelar Sarjana Teknik pada Program Studi Teknik Sipil
Universitas Muhammadiyah Jember

Telah diperiksa dan disetujui oleh :

Dosen Pembimbing I

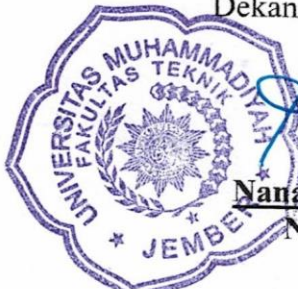

Ir. Totok Dwi K, M.T.
NIDN. 0013086602
Dosen Pengaji I

Taufan Abadi, ST, MT.
NIDN. 0710096603

Dosen Pembimbing II


Ir. Pujo Priyonó, M.T.
NIDN. 002126402
Dosen Pengaji II

Arief Alihudin, ST, M.T.
NIDN. 072597101

Mengesahkan,
Dekan Fakultas Teknik



Nanang Saiful R, S.T., M.T.
NIDN. 0705047806

Mengetahui,
Ketua Program Studi Teknik Sipil



Taufan Abadi, ST, MT.
NIDN. 0710096603

LEMBAR PERNYATAAN KEASLIAN TULISAN

Saya yang bertanda-tangan dibawah ini

Nama : Alvin Ilmi Hakiki

NIM : 1610611043

Fakultas : Teknik

Program Studi : Teknik Sipil

Menyatakan dengan sebenarnya bahwa tugas akhir saya yang berjudul
**“STUDI KAPASITAS PENAMPANG KOLOM PADA ZONA RASIO
EKSENTRISITAS BEBAN AKSIAL YANG LEBIH BESAR DARI
EKSENTRISITAS BALANCE (*Studi Kasus Gedung Integrated Laboratory for
Natural Science and Food Technology Universitas Jember*)”**

ini adalah benar-benar merupakan hasil karya saya sendiri, bukan merupakan pengambil-ambilan, tulisan atau pikiran orang lain yang saya akui sebagai hasil tulisan atau pikiran saya sendiri.

Apabila dikemudian hari terbukti atau dapat dibuktikan tugas akhir ini hasil jiplakan, maka saya bersedia menerima sanksi atas perbuatan tersebut.

Jember, 25 September 2020

Yang membuat pernyataan,



Alvin Ilmi Hakiki
NIM. 1610611043

PERSEMPAHAN

Dengan mengucapkan puji dan syukur kehadirat Allah SWT berkat ramhat dan dan hidayahnya saya dapat mempersembahkan hasil dari karya saya dalam bentuk tugas akhir ini yang merupakan hasil dari penelitian dan juga kepuasan pribadi dapat meninjau judul ini, dan juga kepada :

1. Papa & mama (Rudy Chumaidy & Elfi Zaqiah) yang amat sangat saya hormati, sayangi dan merupakan motivasi terbesar saya selama ini. Terimakasih banyak atas pengorbanannya, kesabarannya dan kasih sayang serta do'a yang selama ini telah diberikan kepada saya.
2. Terimakasih kepada patner saya sedari kecil sekaligus kakak (Arindra Fazlur Azh) telah menjadi panutan selama ini, dan juga salah satu orang yang sangat saya sayangi, terimakasih atas nasihat dan semua saran yang sudah di berikan.
3. Ir. Pujo Priono, M.T. selaku Dosen Pembimbing Akademi dan Pembimbing II Tugas akhir, terimakasih telah membimbing dan mengarahkan serta memantau perkembangan saya di kampus.
4. Alm. Ir. Suhartinah, M.T. selaku Dekan Fakultas Teknik Sipil Universitas Muhammadiyah Jember periode sebelumnya.
5. Ir. Totok Dwi Kuryanto, M.T. selaku Dosen Pembimbing I Tugas Akhir saya.
6. Irawati, S.T., M.T. selaku Ketua jurusan Teknik Sipil Periode sebelumnya.

7. Ilanka Cahyani, S.T, M.T. Selalu dosen ter-favorit yang sudah banyak membantu dari awal perkuliahan hingga Sidang Tugas Akhir.
8. Nanang Saiful Rizal, S.T, M.T selaku Dekan Fakultas Teknik PEriode ini.
9. Taufan Abadi, S.T, M.T selaku Ketua Jurusan Teknik Sipil periode ini.
10. Para dosen Fakultas Teknik Sipil Universitas Muhammadiyah Jember .
11. Keluarga Besar saya yang senantiasa mensuport saya.
12. Staf pengajaran Fakultas Teknik Universitas Jember.
13. Nala Libna Aunurrifa NIM 1610611033 selaku teman, patner, someone special, musuh dan juga salah satu orang yang saya sayangi. Terimakasih atas waktu, supportnya telah menenmani selama ini dan juga semoga bisa menjadi yang terbaik.
14. Terimakasih kepada sahabat, teman, patner segalanya yang sudah ada dan juga selalu membantu hingga saat ini yaitu Yoza Wildan Fahmi (Babang Tokek) dan Indra Dwi Pamungkas (MANDRA).
15. Terimkasih kepada Arip, Edo, jabbar, Nanda Putri, Nouria, Wati.
16. Yang terakhir Seluruh teman Sipil kelas B Angkatan 2016, terimakasih atas proses yang telah di laluli Bersama selama ini.

MOTTO

“Seorang Pemimpi harus bisa mewujudkan Impiannya “

(Alvin Ilmi 2020)

“Ubah cara berpikirmu dan kau dapat mengubah Duniamu”

(Norman Vincent Pelae)

“Aku yakin pada takdirku, karena semua yang datang dari Allah

pasti baik untukku.”

(Rr. Aminatus Zahroh Affandi)



STUDI KAPASITAS PENAMPANG KOLOM PADA ZONA RASIO EKSENTRISITAS BEBAN AKSIAL YANG LEBIH BESAR DARI EKSENTRISITAS BALANCE

(Studi Kasus Gedung Integrated Laboratory for Natural Science and Food Technology
Universitas Jember)

Alvin Ilmi Hakiki

Dosen Pembimbing :

Ir. Totok Dwi K, M.T. ; Ir. Pujo Priyono, M.T.

Program Studi Teknik Sipil Fakultas Teknik Universitas Muhammadiyah Jember

Jl.Karimata 49, Jember 68121, Indonesia

E-mail : alvinilmih15@gmail.com

RINGKASAN

Wilayah Indonesia merupakan wilayah rawan gempa dikarenakan inonesia terletak pada pertemuan 3 lempeng tektonik dunia. Pemangunan di Indonesia semakin berkembang dan semakin banyak gedung-gedung pencakar langit , dan begituga dengan peraturan pembangunan semakin berkembang yakni peraturan SNI-2847-2013 dan SNI-1726-2013 dimana katergori resiko untuk bangunan khususnya Gedung ini (Pendidikan) dari kategori resiko II menjadi kategori resiko IV. Penelitian kapasitas penampang Gedung ini membandingkan dua tinjauan yaitu berdasarkan lampiran B dan berdasarkan factor regangan.

Penelitian dilakukan dengan bantuan *software SAP2000 v.22* dan didapatkan bawah nilai factor reduksi penampang akibat lampiran B yang di tinjau berdasarkan beban aksial lebih besar dibandingkan tinjauan berdasarkan factor reduksi, dapat disimpulkan bahwa dengan semakin besar pengaruh moment akibat gempa tinjauan berdasarkan factor reduksi lebih disarankan digunakan disbandingkan tinjauan berdasarkan lampiran B.

Kata kunci : Gedung Pendidikan, Perbandingan Kapasitas Penampang Kolom, Nilai Factor Reduksi, SNI-2847-2013, SNI-1726-2013, Sap200 v.22.

ABSTRACT

Indonesia is a region prone to earthquakes because it is located at the junction of 3 tectonic plates in the world. Development in Indonesia is increasingly developing and there are more and more skyscrapers, and likewise the development regulations are increasingly developing, the regulations is SNI-2847-2013 and SNI-1726-2013 where the risk category for buildings, especially this building (Education), is from risk category II to risk category IV. This study of the cross-sectional capacity of the building compares two reviews, based on Appendix B and the strain factor.

The research was carried out with the help of SAP2000 v.22 software and it was found that the value of the cross-sectional reduction factor due to Appendix B which is reviewed based on axial load is greater than the review based on the reduction factor, it can be concluded that the greater the effect of the moment due to the earthquake, a review based on the reduction factor is more recommended compared to the review according to Appendix B.

Keywords : Education Building, Comparison of Column Cross-sectional Capacity, Reduction Factor Value, SNI-2847-2013, SNI-1726-2013, Sap200 v.22.

KATA PENGANTAR

Puja dan Puji kita sampaikan atas kehadiran Tuhan Yang Maha Esa, yang telah memberikan rahmat, nikmat sehat dan hidayahnya sehingga penulis dapat menyelesaikan tugas akhir ini. Dan semoga tugas akhir ini bermanfaat bagi penulis maupun pembaca.

Tugas akhir ini berjudul **“Studi Kapasitas Penampang Kolom pada Zona Rasio Eksentrisitas Beban Aksial yang Lebih Besa dari Eksentrisitas Balance”**

Tugas akhir ini disusun dengan baik berkat bantuan dari pihak-pihak yang telah banyak membimbingan, memberi bantuan dan dorongan dari berbagai pihak, hingga tugas akhir ini dapat terselesaikan. Untuk itu dengan kerendahan hati dan rasa hormat penulis mengucapkan terima kasih yang tulus kepada pihak-pihak yang telah membantu saya dalam proses penyusunan laporan ini.

Penulis menyadari bahwa hasil penelitian ini masih banyak kekurangan dan jauh dari kesempurnaan, dengan penuh kesadaran penulis menyampaikan permohonan maaf atas kekurangan pada penulisan tugas akhir ini. Saran dan kritik membangun yang disampaikan kepada penulis amat diterima dengan senang hati. Belum dapat dikatakan sempurna, disebabkan keterbatasan kemampuan penulis. Semoga tugas akhir ini dapat memberikan manfaat.

Jember, 25 September 2020

Penulis

DAFTAR ISI

SAMPUL	i
HALAMAN PERSETUJUAN TUGAS AKHIR	ii
HALAMAN PENGESAHAN TUGAS AKHIR	iii
LEMBAR PERNYATAAN KEASLIAN TULISAN	iv
PERSEMBAHAN	v
MOTTO	vii
RINGKASAN	viii
ABSTRACT	viii
KATA PENGANTAR	ix
DAFTAR ISI	x
DAFTAR TABEL	xvi
DAFTAR GAMBAR	xix
DAFTAR GRAFIK	xxi
DAFTAR LAMPIRAN	xxii
I. PENDAHULUAN	1
1.1 Latar Belakang	1
1.2 Rumusan Masalah	3
1.3 Tujuan Penelitian	3
1.4 Batasan masalah	3
1.5 Manfaat Peneltitian	4
II. TINJAUAN PUSTAKA	5
2.1 Perancangan ketahanan gempa	5
2.2 Faktor utama dan kategori resiko struktur atas	5
2.3 Jenis Tanah	8
2.4 Peta Gempa	9
2.5 Respon Spektrum	10
2.6 Kepefisien Respon seismik	13
2.7 Kategori Desain Seismik	14

2.8 Periode Fundamental pendekatan	15
2.9 Batasan Simpangan antar lantai tingkat	16
2.10 Peraturan yang digunakan	16
2.11 Pembebanan	17
2.11.1 Beban Vertikal	17
2.11.1.1 Beban Mati	17
2.11.1.2 Beban Hidup	17
2.11.2 Beban horizontal	18
2.11.2.1 Beban Angin	18
2.11.2.2 Beban Gempa	18
2.11.3 Kombinasi Pembebanan	19
2.12 Kolom	19
2.12.1 Tipe-tipe Kolom	20
2.13 Perhitungan Kapasitas Kolom	21
2.13.1 Distribusi Tegangan Ekivalen	21
2.13.2 Variasi Nilai ϕ dari Regangan dan Lampiran B	22
2.13.3 Harga Faktor Reduksi Kekuatan ϕ	23
2.13.4 Penmapang Persegi Dalam Daerah “ <i>Compression Control</i> ”	27
2.13.5 Penmapang Persegi Dalam Daerah “ <i>Tension Control</i> ”	28
III. METODE PENELITIAN	32
3.1 Lokasi Proyek dan Waktu Studi	32
3.2 Kerangka Penelitian	33
3.3 Persiapan Data	34
IV. PEMBAHASAN	35
4.1 Informasi Proyek	35
4.2 Mutu Material	35
4.3 Pembebanan	36
4.3.1 Beban Mati	36
4.3.2 Beban Hidup	37
4.3.3 Beban Gempa	37

4.3.3.1	Menentukan kategori resiko bangunan	37
4.3.3.2	Menentukan Faktor Keutamaan Gempa	37
4.3.3.3	Menentukan Klasifikasi Situs	38
4.3.3.4	Menentukan Parameter Percepatan Tanah	38
4.3.3.5	Menentukakna Faktor Koefisien Situs	38
4.3.3.6	Menentukan Nilai Sms dan Sm ₁	39
4.3.3.7	Menentukan SDS dan SD ₁	40
4.3.3.8	Menentukan Kategori design xiistemxii	40
4.3.3.9	Menentukan Faktor R, C _r , dan Ω ₀ untuk xiistem penahan gaya gempa	41
4.3.3.10	Menentukan periode Fundamenal	41
4.3.3.11	Menentukan Skala Faktor keutamaan gempa	42
4.3.4	Kombinasi Pembebatan	43
4.4	Permodelan Struktur dengan SAP2000 v22	44
4.4.1	Model Baru	44
4.4.2	Tipe Material	45
4.4.3	Input Data Kolom, Balok dan Pelat	45
4.4.4	Menggambar Kolom, Balok dan Pelat	48
4.4.5	Menentukan Jenis Pondasi	49
4.4.6	Membuat Tipe Beban	49
4.4.7	Input Beban Pada Balok	50
4.4.8	Input Beban Pada Pelat	50
4.4.9	Massa Struktur	51
4.4.10	Hubungan Balok dan Kolom	52
4.4.11	Input Beban Gempa	52
4.4.12	Input Type Beban Gempa Statis	53
4.4.13	Input Beban Dinamis	53
4.4.14	Analysis	54
4.5	Perhitungan Kolom	44
4.5.1	C1 A lantai 1 – 3	56
	4.5.1.1 Mencari nilai e di masing masing kolom berdasarkan Output data frame sap2000 v22	56

4.5.1.2 Mencari nilai regangan berdasarkan nilai e yang di peroleh dari sap2000 v22	56
4.5.1.3 Menghitung nilai \emptyset berdasarkan nilai regangan	74
4.5.1.4 Menghitung nilai \emptyset berdasarkan Lampiran B output data sap2000 v22	75
4.5.1.5 Membandingkan nilai \emptyset yang diperoleh berdasarkan nilai regangan (ε_y) dan berdasarkan Lampiran B SNI 2847 – 2013.....	76
4.5.2 C1 A lantai 4 – 6	77
4.5.2.1 Mencari nilai e di masing masing kolom berdasarkan Output data frame sap2000 v22	77
4.5.2.2 Mencari nilai regangan berdasarkan nilai e yang di peroleh dari sap2000 v22	77
4.5.2.3 Menghitung nilai \emptyset berdasarkan nilai regangan	93
4.5.2.4 Menghitung nilai \emptyset berdasarkan Lampiran B output data sap2000 v22	94
4.5.2.5 Membandingkan nilai \emptyset yang diperoleh berdasarkan nilai regangan (ε_y) dan berdasarkan Lampiran B SNI 03 – 2847 – 2013	95
4.5.3 C1 B lantai 1 – 3	96
4.5.3.1 Mencari nilai e di masing masing kolom berdasarkan Output data frame sap2000 v22	96
4.5.3.2 Mencari nilai regangan berdasarkan nilai e yang di peroleh dari sap2000 v22	96
4.5.3.3 Menghitung nilai \emptyset berdasarkan nilai regangan	117
4.5.3.4 Menghitung nilai \emptyset berdasarkan Lampiran B output data sap2000 v22	118
4.5.3.5 Membandingkan nilai \emptyset yang diperoleh berdasarkan nilai regangan (ε_y) dan berdasarkan Lampiran B SNI 2847 – 2013	119
4.5.4 C1 B lantai 4 – 6	120
4.5.4.1 Mencari nilai e di masing masing kolom berdasarkan Output data frame sap2000 v22	120
4.5.4.2 Mencari nilai regangan berdasarkan nilai e yang di peroleh dari sap2000 v22	120

4.5.4.3 Menghitung nilai \emptyset berdasarkan nilai regangan	138
4.5.4.4 Menghitung nilai \emptyset berdasarkan Lampiran B output data sap2000 v22	139
4.5.4.5 Membandingkan nilai \emptyset yang diperoleh berdasarkan nilai regangan (ε_y) dan berdasarkan Lampiran B SNI 2847 – 2013	140
4.5.5 C2 A lantai 1 – 3	141
4.5.5.1 Mencari nilai e di masing masing kolom berdasarkan Output data frame sap2000 v22	141
4.5.5.2 Mencari nilai regangan berdasarkan nilai e yang di peroleh dari sap2000 v22	141
4.5.5.3 Menghitung nilai \emptyset berdasarkan nilai regangan	155
4.5.5.4 Menghitung nilai \emptyset berdasarkan Lampiran B output data sap2000 v22	156
4.5.5.5 Membandingkan nilai \emptyset yang diperoleh berdasarkan nilai regangan (ε_y) dan berdasarkan Lampiran B SNI 2847 – 2013	157
4.5.6 C2 A lantai 4 – 6	158
4.5.6.1 Mencari nilai e di masing masing kolom berdasarkan Output data frame sap2000 v22	158
4.5.6.2 Mencari nilai regangan berdasarkan nilai e yang di peroleh dari sap2000 v22	158
4.5.6.3 Menghitung nilai \emptyset berdasarkan nilai regangan	183
4.5.6.4 Menghitung nilai \emptyset berdasarkan Lampiran B output data sap2000 v22	183
4.5.6.5 Membandingkan nilai \emptyset yang diperoleh berdasarkan nilai regangan (ε_y) dan berdasarkan Lampiran B SNI 2847 – 2013	185
4.5.7 C2 B lantai 1 – 3	186
4.5.7.1 Mencari nilai e di masing masing kolom berdasarkan Output data frame sap2000 v22	186
4.5.7.2 Mencari nilai regangan berdasarkan nilai e yang di peroleh dari sap2000 v22	186
4.5.7.3 Menghitung nilai \emptyset berdasarkan nilai regangan	210

4.5.7.4 Menghitung nilai \emptyset berdasarkan Lampiran B output data sap2000 v22	211
4.5.7.5 Membandingkan nilai \emptyset yang diperoleh berdasarkan nilai regangan (ε_y) dan berdasarkan Lampiran B SNI 2847 – 2013	212
4.5.8 C2 B lantai 4 –6	213
4.5.8.1 Mencari nilai e di masing masing kolom berdasarkan Output data frame sap2000 v22	213
4.5.8.2 Mencari nilai regangan berdasarkan nilai e yang di peroleh dari sap2000 v22	213
4.5.8.3 Menghitung nilai \emptyset berdasarkan nilai regangan	236
4.5.8.4 Menghitung nilai \emptyset berdasarkan Lampiran B output data sap2000 v22	237
4.5.8.5 Membandingkan nilai \emptyset yang diperoleh berdasarkan nilai regangan (ε_y) dan berdasarkan Lampiran B SNI 2847 – 2013	238
5 PENUTUP	
5.1 Kesimpulan	239
5.2 Saran	242
DAFTAR PUSTAKA	xxiii
DAFTAR RIWAYAT HIDUP	xxiv

DAFTAR TABEL

Tabel 2.1 Kategori resiko bangunan gedung dan non gedung untuk beban gempa, SNI 03 – 1726 – 2012.....	5
Tabel 2.2 Faktor keutamaan I untuk berbagai kategori Gedung	8
Tabel 2.3 Jenis-jenis tanah, SNI 03 1726-2012	8
Tabel 2.4 Koefisien situs, F_a	11
Tabel 2.5 Koefisien situs, F_v	11
Tabel 2.6 Kategori desain seismik berdasarkan parameter respons percepatan pada perioda pendek, SNI 03-1726-2012	15
Tabel 2.7 Kategori desain seismik berdasarkan parameter respons percepatan pada perioda 1 detik, SNI 03-1726-2012	15
Tabel 2.8 Koefisien untuk batas atas pada perioda yang dihitung, SNI 03-1726-2012	15
Tabel 2.9 Koefisien untuk batas atas pada perioda yang dihitung, SNI 03-1726-2012	16
Tabel 2.10 Simpangan antar lantai ijin, $\Delta_a^{a,b}$, SNI 03-1726-2012	16
Tabel 2.11 Formulasi \emptyset untuk berbagi mutu baja untuk tulangan geser sengkang(lainnya)	24
Tabel 4.1 faktor keutamaan gempa	37
Tabel 4.2 koefisien situs F_a	38
Tabel 4.3 koefisien situs F_v	39
Tabel 4.4 Kategori Desain Seismik Berdasarkan Parameter Respon Percapatan pada Perioda Pendek	40

Tabel 4.5 Kategori Desain Seismik Berdasarkan Parameter Respon Percapatan pada Perioda 1 Detik	41
Tabel 4.6 Periode fundamental	41
Tabel 4.7 Nilai parameter perioda pendekatan	42
Tabel Kolom C1 A It 1-3	
Tabel 4.8 output frame sap v22 plus nilai e	56
Tabel 4.9 output frame sap v22 setelah input ϵ_y dan nilai \emptyset	75
Tabel 4.10 output frame sap v22 setelah input nilai \emptyset berdasarkan Lampiran B	76
Tabel Kolom C1 A It 4-6	
Tabel 4.11 output frame sap v22 plus nilai e	77
Tabel 4.12 output frame sap v22 setelah input ϵ_y dan nilai \emptyset	94
Tabel 4.13 output frame sap v22 setelah input nilai \emptyset berdasarkan Lampiran B	95
Tabel Kolom C1 B It 1-3	
Tabel 4.14 output frame sap v22 plus nilai e	96
Tabel 4.15 output frame sap v22 setelah input ϵ_y dan nilai \emptyset	118
Tabel 4.16 output frame sap v22 setelah input nilai \emptyset berdasarkan Lampiran B	119
Tabel C1 B It 4-6	
Tabel 4.17 output frame sap v22 plus nilai e	120
Tabel 4.18 output frame sap v22 setelah input ϵ_y dan nilai \emptyset	139
Tabel 4.19 output frame sap v22 setelah input nilai \emptyset berdasarkan Lampiran B	140

Tabel Kolom C2 A It 1-3

Tabel 4.20 output frame sap v22 plus nilai e	141
Tabel 4.21 output frame sap v22 setelah input ϵ_y dan nilai \emptyset	156
Tabel 4.22 output frame sap v22 setelah input nilai \emptyset berdasarkan Lampiran B	157

Tabel Kolom C2 A It 4-6

Tabel 4.23 output frame sap v22 plus nilai e	158
Tabel 4.24 output frame sap v22 setelah input ϵ_y dan nilai \emptyset	183
Tabel 4.25 output frame sap v22 setelah input nilai \emptyset berdasarkan Lampiran B	184

Tabel Kolom C2 B It 1-3

Tabel 4.26 output frame sap v22 plus nilai e	186
Tabel 4.27 output frame sap v22 setelah input ϵ_y dan nilai \emptyset	211
Tabel 4.28 output frame sap v22 setelah input nilai \emptyset berdasarkan Lampiran B	212

Tabel Kolom C2 B It 4-6

Tabel 4.29 output frame sap v22 plus nilai e	213
Tabel 4.30 output frame sap v22 setelah input ϵ_y dan nilai \emptyset	237
Tabel 4.31 output frame sap v22 setelah input nilai \emptyset berdasarkan Lampiran B	238

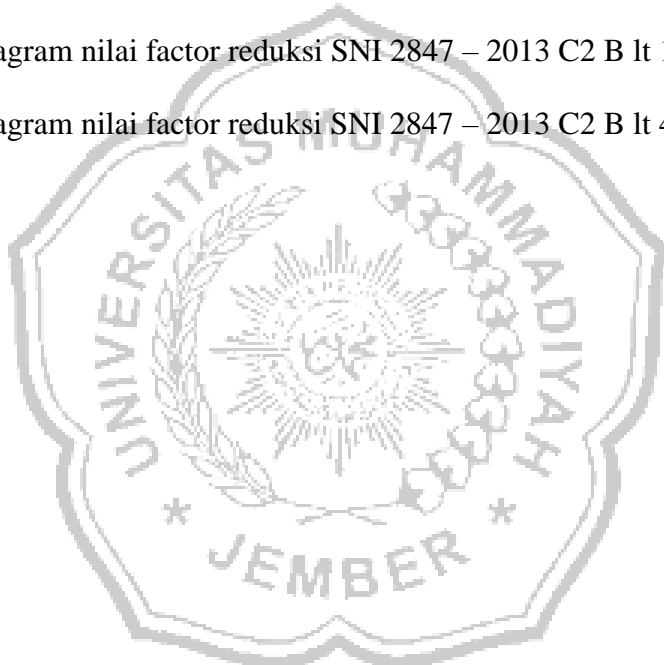
DAFTAR GAMBAR

Gambar 2.1 Peta <i>hazard</i> gempa Indonesia di batuan dasar pada kondisi PGA T = 0 detik untuk 10% <i>PE</i> 50 tahun berdasarkan Hasil Studi Tim Revisi Peta Gempa Indonesia 2012	9
Gambar 2.2 Peta <i>hazard</i> gempa Indonesia di batuan dasar pada kondisi spektra T = 0.2 detik untuk 10% <i>PE</i> 50 tahun Hasil Studi Tim Revisi Peta Gempa Indonesia 2012	9
Gambar 2.3 Peta <i>hazard</i> gempa Indonesia di batuan dasar pada kondisi spektra T = 1.0 detik untuk 10% <i>PE</i> 50 tahun Hasil Studi Tim Revisi Peta Gempa Indonesia 2012	10
Gambar 2.4 Respon Spektrum	13
Gambar 2.5 batas nilai regangan	23
Gambar 2.6 Nilai Faktor Reduksi, \emptyset	24
Gambar 2.7 Variasi nilai \emptyset untuk kolom yang mempunyai tulangan simetris, $f_y \leq 420 \text{ MPa}$, dan $\gamma = \frac{d-d'}{h} \geq 0,70$, sesuai Lampiran B SNI 2847:2013	26
Gambar 2.8 Penampang Tekan	27
Gambar 2.9 Penampang Tarik	29
Gambar 3.1 Peta Lokasi Proyek	32
Gambar 3.2 <i>Flowchart</i> Penelitian	33
Gambar 4.1 struktur bangunan Output SAPV22	35
Gambar 4.2 New Model	44
Gambar 4.3 Custom Grid	44

Gambar 4.4 Grid	45
Gambar 4.5 Tipe Material	45
Gambar 4.6 Add Property	45
Gambar 4.7 Jenis Section Property	46
Gambar 4.8 Input Dimensi	46
Gambar 4.9 Input Data Kolom dan Balok	47
Gambar 4.10 Area Section Plat	47
Gambar 4.11 Input Dimensi Plat	48
Gambar 4.12 Menggambar Frame dan Plat	48
Gambar 4.13 Menentukan Jenis Pondasi	49
Gambar 4.14 Tipe Beban	49
Gambar 4.15 Frame Distribut	50
Gambar 4.16 Area Distribut	50
Gambar 4.17 Massa Struktur	51
Gambar 4.18 Hubungan Balok dan Kolom	52
Gambar 4.19 Respon Spektrum	52
Gambar 4.20 Beban Gempa Statis	53
Gambar 4.21 Beban Dinamis	53
Gambar 4.22 Analisis Option	54
Gambar 4.23 Set Load Case Run	54
Gambar 4.24 Jenis kolom yang di tinjau	55

DAFTAR GRAFIK

Grafik 4.1 Diagram nilai factor reduksi SNI 2847 – 2013 C1 A lt 1 - 3	76
Grafik 4.2 Diagram nilai factor reduksi SNI 2847 – 2013 C1 A lt 4 - 6	95
Grafik 4.3 Diagram nilai factor reduksi SNI2847 – 2013 C1 B lt 1 - 3	119
Grafik 4.4 Diagram nilai factor reduksi SNI 2847 – 2013 C1 B lt 4 - 6	140
Grafik 4.5 Diagram nilai factor reduksi SNI 2847 – 2013 C2 A lt 1 - 3	157
Grafik 4.6 Diagram nilai factor reduksi SNI 2847 – 2013 C2 A lt 4 - 6	185
Grafik 4.7 Diagram nilai factor reduksi SNI 2847 – 2013 C2 B lt 1 - 3	212
Grafik 4.8 Diagram nilai factor reduksi SNI 2847 –2013 C2 B lt 4 - 6	238



DAFTAR LAMPIRAN

- Lampiran rekap perhitungan dan ouput sap
- Lampira gambar proyek

